

УДК 531.8

© 1991 г.

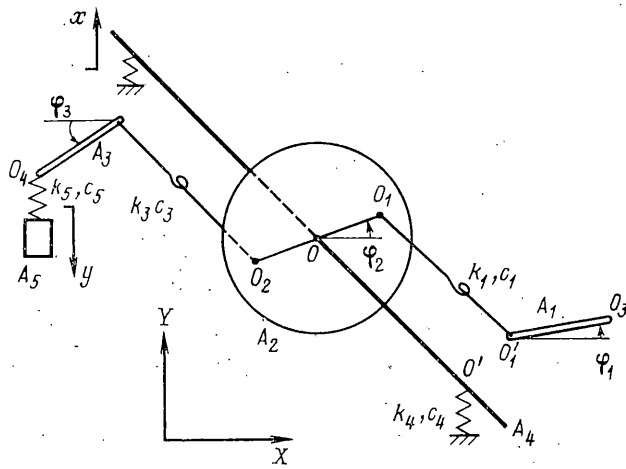
Л. Д. АКУЛЕНКО, С. К. КАУШНИС, Г. В. КОСТИН

АМПЛИТУДНО-ЧАСТОТНЫЙ АНАЛИЗ И МОДЕЛИРОВАНИЕ ДИНАМИКИ УПРАВЛЯЕМЫХ ДВИЖЕНИЙ ЭЛЕКТРОМЕХАНИЧЕСКОЙ СИСТЕМЫ ВЫБОРКИ ИНФОРМАЦИИ

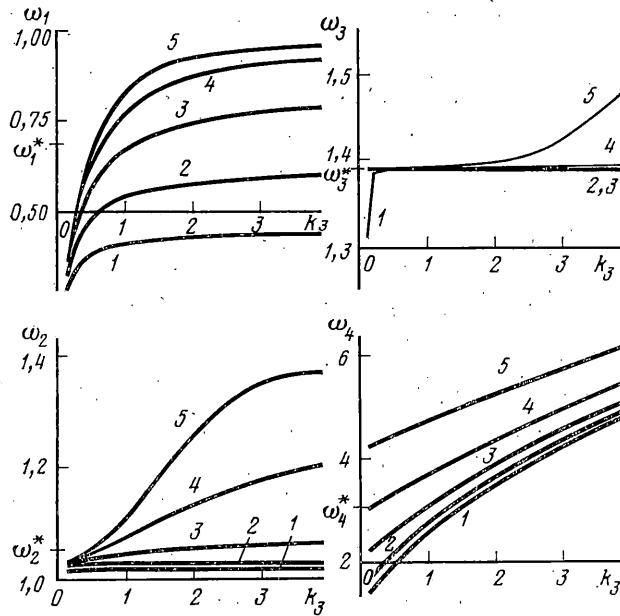
При теоретическом исследовании динамики сложных управляемых технических объектов с высокими показателями качества функционирования (например точности, быстродействия, энергозатрат и т. д.) часто необходимо учитывать упругую податливость конструкции и динамику управляющих систем. Стремление повысить эффективность устройства приводит к увеличению влияния упругих колебаний и переходных процессов в приводах. Анализ таких систем проведен в [1, 2]. В работе рассматриваются плоские вращательные движения манипуляционной системы исполнительного устройства выборки информации для накопителя на жестких магнитных дисках. Электромеханическая модель включает упругую механическую часть и электропривод постоянного тока с подвижной катушкой. Управляющим воздействием является напряжение, подаваемое на активную обмотку электропривода. К этой системе предъявляются высокие требования точности позиционирования (отношение отклонения от заданного конечного положения к характерному перемещению не должно превышать $\varepsilon = 3 \cdot 10^{-5}$) и к быстродействию. Постановка задачи управления близка к исследуемым в [3-6]. Анализируются частотные и амплитудно-частотные характеристики линейной электромеханической модели заданной конструкции исполнительного устройства [7]. Результаты этих исследований сравниваются с экспериментальными данными. С помощью численного интегрирования моделируется динамика управляемых движений системы. Для абсолютно жесткой модели даются оценки времени поворота системы на заданный угол и постоянных времени электромеханических и электромагнитных процессов в приводе.

1. Уравнения механической части исполнительного устройства. Предлагается электромеханическая линейная модель исполнительного устройства накопителя на магнитных дисках, управляемого электромагнитным приводом позиционирования с подвижной катушкой. Механическая часть модели показана на фиг. 1. Рассматриваются плоские вращательные движения системы. Абсолютно жесткий вал A_4 упруго закреплен в подшипниках и может без трения вращаться вокруг своей оси, расположенной перпендикулярно плоскости движения. Суммарный коэффициент упругости подшипников — k_4 ; а коэффициент демпфирования — c_4 . На валу в точке O жестко закреплен диск A_2 , масса которого равна m_2 , а суммарный момент инерции относительно оси вала A_4 равен J_2 . К диску в свою очередь упруго прикреплены два абсолютно жестких стержня A_1 и A_3 на расстояниях l_2 и l_3 соответственно; l_1 и l_4 — длины стержней, m_1 и m_3 — массы, J_1 и J_3 — моменты инерции относительно центра масс, l_5 и l_6 — расстояние от точки закрепления до центра масс, k_1 и k_3 — угловые коэффициенты упругости, а c_1 и c_3 — коэффициенты демпфирования. В точке O_3 расположена магнитная катушка привода, а в точке O_4 упруго закреплена материальная точка A_5 массы m_5 (магнитная головка), которая может совершать упругие движения перпендикулярно оси стержня A_3 .

Введем неподвижную систему координат OXY и два набора фазовых переменных. Первый из них (назовем его «абсолютным») состоит из угла



Фиг. 1



Фиг. 2

φ_1 — полного поворота стержня A_1 относительно оси OX вокруг точки O_1' ; угла поворота φ_2 вала A_4 ; полного угла поворота φ_3 стержня A_3 , смещения x точки O относительно положения равновесия и абсолютного смещения y магнитной головки A_5 вдоль оси OY . Направления углов поворотов и смещений выбраны так, как показано на фиг. 1. Второй набор включает в себя следующие («относительные») переменные: φ_1' , φ_2' , φ_3' , x' и y' . Связь между абсолютными и относительными переменными имеет следующий вид

$$x = x', \quad \varphi_2 = \varphi_2', \quad \varphi_1 = \varphi_1' + \varphi_2', \quad \varphi_3 = \varphi_3' + \varphi_2' \quad (1.1)$$

$$y = -x' + \varphi_2'(l_3 + l_4) + \varphi_3'l_4 + y'$$

Здесь y' — смещение магнитной головки A_5 относительно точки O_4 стержня A_3 .

Кинетическая энергия системы может быть представлена в виде суммы

$$T = \sum_{i=1}^4 T_i, \quad T_1 = m_1 (\dot{x} + l_2 \dot{\varphi}_2 + l_5 \dot{\varphi}_1)^2 / 2 + J_1 \dot{\varphi}_2^2 / 2 \quad (1.2)$$

$$T_2 = m_2 \dot{x}^2 / 2 + J_2 \dot{\varphi}_2^2 / 2$$

$$T_3 = m_3 (-\dot{x} + l_3 \dot{\varphi}_2 + l_6 \dot{\varphi}_3)^2 / 2 + J_3 \dot{\varphi}_3^2 / 2, \quad T_4 = m_5 \dot{y}^2 / 2$$

Потенциальная энергия упругих колебаний запишется следующим образом

$$U = k_1 \varphi_1'^2 / 2 + k_3 \varphi_3'^2 / 2 + k_4 x'^2 / 2 + k_5 y'^2 / 2 \quad (1.3)$$

Матрица потенциальной энергии и матрица диссипации в относительных переменных соответственно имеют вид:

$$K = \text{diag} \{k_1, 0, k_3, k_4, k_5\}, \quad C = \text{diag} \{c_1, 0, c_3, c_4, c_5\} \quad (1.4)$$

Выражая в (1.2) абсолютные переменные через относительные, получим матрицу кинетической энергии A размером 5×5 .

Используемые системы координат включают как размерные, так и угловые переменные. Введем для удобства новую систему координат в виде

$$z = \|\ z_1, z_2, z_3, z_4, z_5 \|^T = \|\ l_1 \varphi_1', (l_3 + l_4) \varphi_2', l_4 \varphi_3', x, y \|^T \quad (1.5)$$

Соответственно изменяются матрицы кинетической и потенциальной энергии и матрица диссипации

$$A^* = \| a_{ij}^* \|, \quad C^* = \| c_{ij}^* \delta_{ij} \|, \quad K^* = \| k_{ij}^* \delta_{ij} \| \quad (1.6)$$

$$k_{11}^* = k_1 / l_1^2, \quad k_{22}^* = 0, \quad k_{33}^* = k_3 / l_4^2, \quad k_{44}^* = k_4, \quad k_{55}^* = k_5$$

$$c_{11}^* = c_1 / l_1^2, \quad c_{22}^* = 0, \quad c_{33}^* = c_3 / l_4^2, \quad c_{44}^* = c_4, \quad c_{55}^* = c_5$$

$$a_{11}^* = (m_1 l_5^2 + J_1) / l_1^2, \quad a_{12}^* = (m_1 l_5 (l_2 + l_5) + J_1) / l_1 (l_3 + l_4)$$

$$a_{13}^* = a_{15}^* = 0, \quad a_{14}^* = m_1 l_5 / l_1$$

$$a_{22}^* = (m_1 (l_2 + l_5)^2 + m_3 (l_3 + l_6)^2 + J_1 + J_2 + J_3) / (l_3 + l_4) + m_5$$

$$a_{23}^* = (m_3 l_6 (l_3 + l_6) + J_3) / l_4 (l_3 + l_4) + m_5$$

$$a_{24}^* = (m_1 (l_2 + l_3) - m_3 (l_3 + l_6)) / (l_3 + l_4) - m_5$$

$$a_{33}^* = (m_3 l_6^2 + m_5 l_4^2 + J_3) / l_4^2, \quad a_{34}^* = -m_3 l_6 / l_4 - m_5$$

$$a_{44}^* = m_1 + m_2 + m_3 + m_5, \quad a_{55}^* = -a_{45}^* = a_{25}^* = a_{35}^* = m_5, \quad a_{ij}^* = 0_{ji}^*$$

где δ_{ij} — символ Кронекера, а $i, j = 1, 2, 3, 4, 5$. В дальнейшем, для простоты звездочка опускается. Уравнение движения этой системы в линейном приближении (при малом отклонении от нулевого положения) запишется в виде

$$Az'' + Cz' + Kz = Q \quad (1.7)$$

Здесь $Q = \| q_1, q_2, q_3, q_4, q_5 \|^T$ — вектор обобщенных сил, действующих на систему (1.7).

2. Вывод уравнений движения полной электромеханической системы.

Уравнения баланса токов в электроприводе имеют вид [8]

$$\begin{cases} L_{11} \dot{j}_1 + L_{12} \dot{j}_2 + r_1 j_1 + f (z_1 + z_2 (l_2 + l_1) / (l_3 + l_4) + z_4) = u \\ L_{21} \dot{j}_1 + L_{22} \dot{j}_2 + r_2 j_2 = 0, \quad F = f j_1, \quad L_{12} = L_{21} \end{cases} \quad (2.1)$$

где j_1 — ток в первой цепи электропривода на которую подается напряжение u , r_1 — омическое сопротивление в этой цепи, f — коэффициент магнит-

ного потока ($f = \text{const}$), j_2 — ток, а r_2 — сопротивление во второй, короткозамкнутой цепи, L_{11} , L_{22} , L_{12} — это индуктивность первой и второй цепи и коэффициент взаимоиנדукции соответственно. Так как F — электромагнитная сила, действующая со стороны привода в точке O_3 , из этого следует, что

$$Q = Q^* + Q', \quad Q' = fj_1 \| 1, (l_1 + l_2)/(l_3 + l_4), 0, 1, 0 \|^T \quad (2.2)$$

где Q' — вектор электромагнитных, а Q^* — вектор возмущающих внешних сил. В системе (1.7), (2.1), (2.2), задается также начальное состояние

$$z_i(t_0) = z_i^0, \quad z_i^*|_{t=t_0} = z_i^{*0}, \quad j_m(t_0) = j_m^0 \quad (2.3)$$

$$i = 1, 2, 3, 4, 5, \quad m = 1, 2$$

Напряжение u , подаваемое на подвижную магнитную катушку первой цепи, считается управляющим воздействием, на которое накладывается следующее ограничение по абсолютному значению

$$|u| \leq u_0 \quad (2.4)$$

3. Постановка задачи управления движением. Ставится задача перевода системы (1.7), (2.1), (2.2) из начального положения (2.3) в заданную окрестность Δ конечной фазовой точки

$$z_i(T) = z_i^T, \quad z_i^*|_{t=T} = z_i^{*T}, \quad j_m(T) = j_m^T \quad (i = \overline{1,5}, \quad m = \overline{1,2}) \quad (3.1)$$

за время $T < T' < +\infty$ и фиксации в этой окрестности произвольное время. При этом минимизируется некоторый функционал Θ . Обобщая все сказанное выше, можно записать

$$Az'' + Cz' + Kz - P^T j = Q^*, \quad Lj' + Rj + Pz' = ue \quad (3.2)$$

$$z_i|_{t=t_0, T} = z_i^{0, T}, \quad z_i^*|_{t=t_0, T} = z_i^{*0, T}, \quad j_m|_{t=t_0, T} = j_m^{0, T}$$

$$|u| \leq u_0, \quad \xi(t) = \|z(t), z^*(t), j(t)\|^T \in \Delta$$

$$\Theta[\xi, u, T] \rightarrow \min, \quad e = \|1, 0\|^T, \quad \xi^* = \|z^T, z^{*T}, j^T\|^T \in \Delta, \quad t > T$$

$$R = \text{diag}\{r_1, r_2\}, \quad j = \|j_1, j_2\|^T$$

$$L = \left\| \begin{array}{cc} L_{11} & L_{12} \\ L_{21} & L_{22} \end{array} \right\|, \quad P = \left\| \begin{array}{ccc} f & f(l_1 + l_2)/(l_3 + l_4) & 0 \\ 0 & 0 & 0 \end{array} \right\| \begin{array}{ccc} 0 & f & 0 \\ 0 & 0 & 0 \end{array}$$

Решение данной задачи (3.2) для произвольных параметров, начальных и конечных условий построить не удастся. Но рассматриваемая система имеет ряд существенных особенностей. Характерное время приведения системы в конечное положение много больше максимального периода собственных колебаний и времени переходных электромагнитных процессов в приводе. Амплитуда упругих колебаний много меньше величины транспортных перемещений механической части исполнительного устройства как целого, поэтому можно рассматривать упругие смещения как возмущения и применять асимптотические и приближенные методы для построения законов управления. Так как рассматриваемая модель является приближенной и значения параметров системы заданы с ограниченной точностью, а также из-за воздействия на систему неизвестных возмущающих сил и моментов, управление должно устойчиво (по отношению к внешним возмущениям и изменению параметров) за ограниченное время приводить систему в заданное положение. В реальном устройстве измеряются значения только некоторых переменных, поэтому система (1.7), (2.1), (2.2) не является наблюдаемой.

На практике часто возникает более простая задача перевода магнитной головки A_5 из начального положения покоя в конечное с заданной

точностью за ограниченное время и удержание ее в этом положении. Можно записать, что

$$y(t_0) = y^0, \quad |y(t) - y^T| \leq \varepsilon, \quad t \geq T, \quad T \leq T', \quad |u| \leq u_0 \quad (3.3)$$

$$y = z_2 + z_3 - z_4 + z_5$$

При этом предполагается гашение или невозбуждение упругих колебаний и токов в обмотках привода.

4. Частотный анализ системы. Для определения параметров конструкции (в данном случае коэффициентов жесткостей), а также для сравнения модели с экспериментальными результатами, необходимо исследовать частотные характеристики системы. Для этого рассмотрим механическую часть исполнительного устройства при отсутствии диссипации. Из (1.7) следует, что уравнение движения консервативной системы запишется в виде

$$Az'' + Kz = Q \quad (4.1)$$

Все корни характеристического уравнения

$$\det(A^{-1}K - \omega^2 E) = 0 \quad (4.2)$$

имеют нулевую действительную часть. Так как система может свободно вращаться вокруг оси вала A_4 , то два корня уравнения (4.2) являются нулевыми.

На фиг. 2 приведены результаты численных расчетов четырех ненулевых частот собственных колебаний системы (4.1). При заданной матрице кинетической энергии (1.8) и заданных коэффициентах жесткостей $k_1 = k_1^0$, $k_4 = k_4^0$ безразмерные частоты ω_m / ω_0 ($m = 1, 2, 3, 4$, $\omega_1 \leq \omega_2 \leq \omega_3 \leq \omega_4$) представлены как функции от безразмерного параметра k_3 / k_3^0 . Здесь k_j^0 — номинальные значения коэффициентов жесткости конструкции ($j = 1, 3, 4, 5$), а ω^0 — характеристическая собственная частота

$$\omega^0 = (k_3^0 / (m_5 + m_3 l_6^2 / l_4^2 + J_3 / l_4^2))^{1/2} \quad (4.3)$$

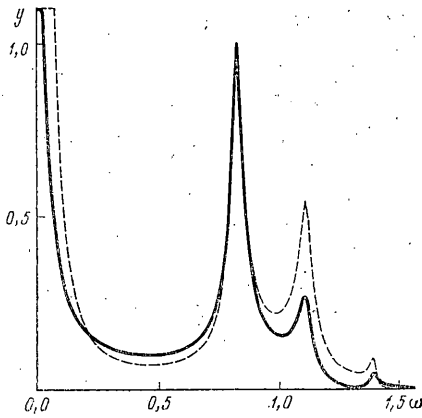
Для каждой частоты ω_m приведено пять графиков, соответствующих следующим значениям параметра k_3 : $k_3^0 / 4$, $k_3^0 / 2$, k_3^0 , $2k_3^0$ и $4k_3^0$. Соответствующие кривые помечены цифрами 1, 2, 3, 4 и 5. На фиг. 2 также приведены экспериментальные значения собственных частот ω_m^* исполнительного устройства. Нетрудно заметить, что при номинальных значениях коэффициентов жесткости полученные частоты близки к реальным значениям $|(\omega_m^* - \omega_m) / \omega_m| \ll 1$, $m = 1, 2, 3, 4$. Как видно из фиг. 2 при увеличении (уменьшении) любого коэффициента жесткости k_j все частоты ω_m монотонно увеличиваются (уменьшаются). При этом чувствительность различных частот к изменению коэффициента k_j зависит параметрически от значения всех коэффициентов k_j , $j = 1, 3, 4, 5$.

5. Амплитудно-частотные характеристики электромеханической модели исполнительного устройства. Для сравнения модели с реальным устройством важно исследовать теоретические и экспериментальные амплитудно-частотные характеристики поведения системы. Их анализ помогает оценить точность модели и особенности ее поведения с учетом коэффициентов диссипации. Рассмотрим вначале поведение механической части исследуемой системы (1.7) при воздействии на нее обобщенных сил вида

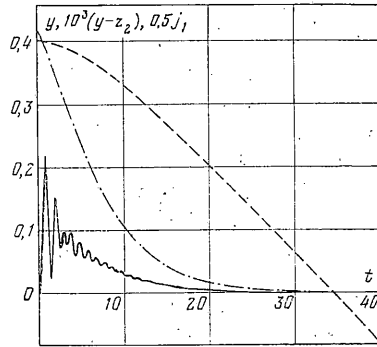
$$Q = d e^{i\omega t} \quad (5.1)$$

где d вектор, компоненты которого постоянные действительные числа. Установившееся движение системы имеет вид

$$z = z' e^{i\omega t} \quad (5.2)$$



Фиг. 3



Фиг. 4

Здесь $z' = \|z_1', z_2', z_3', z_4', z_5'\|^T$ — комплексный вектор, а $|z_l'|$ — амплитуда установившихся колебаний l -й фазовой координаты. Полагая в векторе d все компоненты кроме j -го равными нулю, можно построить зависимость амплитуды $|z_l'|$ от ω при воздействии на j -й вход синусоидальной силы (5.1). В результате для (1.7) получим

$$(K - \omega^2 A + i\omega C)z' = d \quad (5.3)$$

Решая это уравнение, находим z' :

$$z' = (K - \omega^2 A + i\omega C)^{-1} d \quad (5.4)$$

На фиг. 3 (штриховая линия) показана амплитудно-частотная характеристика для абсолютной координаты магнитной головки $y = z_2 + z_3 + z_4 + z_5$ при воздействии на стержень A_1 силы вида (3.1) (d выбрано так, что амплитуда первого максимума равнялась единице). Введены новые безразмерные переменные

$$z^* = z / (l_3 + l_4), \quad \omega^* = \omega / \omega^0 \quad (5.5)$$

В дальнейшем звездочка опускается.

Рассмотрим полную электромеханическую систему (1.7), (2.1). Запишем новые переменные для силы тока в уравнениях (1.7), (2.1) следующим образом

$$j_i' = r_i j_i / u_0, \quad m = 1, 2 \quad (5.6)$$

и опустим штрихи. Тогда, подавая на систему (1.7), (2.1) воздействие вида (5.1), где d имеет соответствующую размерность, и вводя новый вектор

$$\eta = \|z_1, z_2, z_3, z_4, z_5, j_1, j_2\|^T \quad (5.7)$$

получаем систему линейных алгебраических уравнений

$$\left\| \begin{array}{cc} C' - \omega^2 A' + i\omega B' & -P' \\ P' & i\omega L' + R' \end{array} \right\| \eta = d, \quad R' = (u_0 / r_1) R, \quad L' = (u_0 / r_1) L \quad (5.8)$$

$$A' = (l_3 + l_4)^{-1} A, \quad C' = (l_3 + l_4)^{-1} C, \quad K' = (l_3 + l_4)^{-1} K, \quad P' = (u_0 / r_1) P$$

Здесь матрицы A, C, K определены в (1.8), а L, R, P — в (3.2).

На фиг. 3 (сплошная линия) представлена зависимость амплитуды колебания y магнитной головки A_5 от частоты ω подаваемого напряжения u . Из графиков видно, что при включении в систему привода уменьшаются относительная амплитуда колебаний на более высоких частотах. Для предложенных параметров кривая, изображенная на фиг. 3, качественно

отражает экспериментальные амплитудно-частотные характеристики системы. Это позволяет использовать выбранные параметры для дальнейшего теоретического исследования динамики исполнительного устройства.

6. Электромеханическая модель абсолютно жесткого исполнительного устройства. Для изучения транспортных движений устройства, а также для построения приближенных законов управления необходимо исследовать случай нулевой упругой податливости. Применяя затем к полной модели полученные результаты, можно оценить влияние упругости на поведение системы. Уравнение (1.7) механической части системы в предельном случае абсолютно жесткого тела ($k_i \rightarrow \infty$, $i=1, 3, 4, 5$) перейдет в следующее

$$J\varphi'' = \Phi j_1, \quad \Phi = f/(l_1 + l_2) \quad (6.1)$$

$$J = J_1 + J_2 + J_3 + m_1(l_2 + l_5)^2 + m_3(l_3 + l_6)^2 + m_5(l_3 + l_4)^2$$

Здесь φ — угол поворота вала A_4 , J — полный момент инерции относительно оси вала, Φ — угловой коэффициент магнитного потока.

Уравнения двигателя с учетом преобразования (5.6) запишутся в виде

$$\begin{cases} L_{11}^* j_1' + L_{12}^* j_2' = -j_1 - \Phi \varphi' / u_0 + u', & u' = u / u_0, \quad |u'| \leq 1 \\ L_{21}^* j_1' + L_{22}^* j_2' = -j_2, & L_{ii}^* = L_{ij} / r_i, \quad i, j = 1, 2 \end{cases} \quad (6.2)$$

Начальные условия задаются в форме

$$\varphi(t_0) = \varphi^0, \quad \varphi'|_{t=t_0} = \dot{\varphi}^0, \quad j_1(t_0) = j_1^0, \quad j_2(t_0) = j_2^0 \quad (6.3)$$

Двигатель с подвижной магнитной катушкой имеет существенную особенность: корни характеристического уравнения для (6.2) сильно отличаются друг от друга (в типичных случаях на 2–3 порядка), а это в свою очередь сильно затрудняет расчеты. Для их разделения введем новую переменную

$$j = j_1 + L_{22}^* / L_{21}^* j_2 \quad (6.4)$$

Выражая в (6.2) j_2 через j , получаем

$$\begin{cases} L' j_1' = -(1 + \rho) j_1 + \rho j - \Phi \varphi' / u_0 + u', & \rho = L_{21}^{*2} / L_{22}^{*2} \\ L_{22}^* j' = -(j_1 - j), & L' = L_{11}^* - L_{12}^{*2} / L_{22}^* \end{cases} \quad (6.5)$$

Если выполняется следующее условие

$$\tau_1 \ll \tau_2 \ll \tau_3, \quad \tau_1 \equiv L' / (1 + \rho), \quad \tau_2 \equiv L_{22}^*, \quad \tau_3 \equiv Jr_1 / \Phi^2 \quad (6.6)$$

где τ_1 — характерное время изменения тока в первой цепи j_1 , τ_2 — время переходных процессов в электроприводе, τ_3 — характерный интервал поворота системы (6.1), (6.5) на единичный угол, то в системе при старшей производной имеется малый параметр (сингулярно возмущенная система). Устремим L' к нулю, тогда уравнения (6.1), (6.5) перейдут в следующие

$$J\varphi'' = \Phi j_1, \quad \tau_2 j' = -(j_1 - j), \quad j_1 = (-\rho j + \Phi \varphi' / u_0 + u') / (1 + \rho) \quad (6.7)$$

Оценим время T поворота системы (6.7) из состояния покоя на угол φ^* при постоянном приложенном напряжении $u = u_0$. Если выполняется условие (6.6), то можно при оценке T не учитывать электромагнитные переходные процессы в приводе. При $\tau_2 \rightarrow 0$ уравнение (6.7) переходит в уравнение

$$Jr_1 \varphi'' + \Phi^2 \varphi' - \Phi u_0 u' = 0 \quad (6.8)$$

с начальными и конечными условиями и ограничениями на управление

$$\varphi(t_0) = \varphi^0, \quad \varphi'|_{t=t_0} = 0, \quad \varphi(T) = \varphi^0 + \varphi^*, \quad |u'| \leq 1 \quad (6.9)$$

Решение уравнения (4.8) при учете (4.9) имеет вид

$$\varphi(t) = u_0 / \Phi (t - (1 - e^{-vt}) / v), \quad v = \Phi^2 / Jr_1 \quad (6.10)$$

Если $\varphi^* \gg u_0/\Phi v$, то $T \approx \Phi \varphi^*/u_0 + 1/v$, а если $\varphi^* \ll u_0/\Phi v$, то $T \approx (2\Phi \varphi^*/(u_0 v))^{1/2}$.

7. Численное моделирование динамики электромеханической системы. Методом Рунге — Кутта четвертого порядка с автоматическим выбором шага и контролем точности проинтегрирована система двенадцатого порядка (1.7), (2.1) с учетом замены переменных и времени (3.5), (3.6). При этом

$$z_2^0 = 0,4, z_m^0 = z_i^0 = j_1^0 = j_2^0 = 0, m = 1, 3, 4, 5, i = \overline{1,5}, u' = -1 \quad (7.1)$$

На фиг. 4 показаны функции от времени абсолютного (пунктирная линия) и упругого (сплошная линия) смещения магнитной головки ($y = z_2 + z_3 - z_4 + z_5$ и $v = y - z_2$ соответственно). В момент времени $t_0 = 0$ на систему действует постоянное единичное напряжение. Изменение тока j_1 от времени показано штрихпунктирной линией. Из графиков видно, что в системе возникают колебательные движения с частотой низшей моды $\omega \sim \omega_0$. При этом $\max\{v\} \sim 10^{-3} \cdot \max\{y\}$. Время T , за которое система проходит через точку $y = 0$ приблизительно равно оцененному в предыдущей главе интервалу T . Это время много больше периода упругих колебаний и времени переходных процессов в электроприводе.

8. Краткие выводы. Из изложенного следует, что выбранная линейная модель с предложенными параметрами отражает в пределах некоторой точности амплитудно-частотные свойства и динамику заданной конструкции системы выборки информации.

Несмотря на то, что амплитуда колебаний магнитной головки мала по сравнению с характерными перемещениями системы, упругая податливость конструкции вследствие высоких требований к точности позиционирования магнитной головки вызывает существенное ухудшение качества функционирования системы. Предлагается либо уменьшить максимальное напряжение в цепи привода, что естественно вызовет увеличение времени поворота, либо применять «сглаженные» управления, которые в отличие от релейных вызывают меньшие упругие отклонения [9], либо техническими средствами увеличивать демпфирование в системе. Методы гашения упругих колебаний программными средствами [10] в данном случае трудно реализовать на практике из-за отсутствия полной информации о фазовом состоянии объекта.

СПИСОК ЛИТЕРАТУРЫ

1. Черноушко Ф. Л., Акуленко Л. Д., Соколов Б. Н. Управление колебаниями. М.: Наука, 1980. 384 с.
2. Акуленко Л. Д. Асимптотические методы оптимального уравнения. М.: Наука, 1987. 368 с.
3. Черноушко Ф. Л., Болотник Н. Н., Градецкич А. В. Г. Манипуляционные работы. Динамика, управление, оптимизация. М.: Наука, 1989. 368 с.
4. Акуленко Л. Д., Болотник Н. Н. Об управлении поворотом упругого звена манипулятора // Изв. АН СССР. Техн. кибернет. 1984. № 1. С. 167–173.
5. Акуленко Л. Д., Михайлов С. А. Синтез управления вращениями упругого звена электромеханического манипуляционного робота // Изв. АН СССР. Техн. кибернет. 1988. № 4. С. 33–41.
6. Book W. J. Analysis of massless elastic chains with servo controlled joints // Trans. ASME J. Dynamic Syst. Measur. and Control. 1979. V. 101. N 3. P. 187–192.
7. Гантмахер Ф. Р. Лекции по аналитической механике. М.: Наука, 1966. 300 с.
8. Чиликин М. Г., Ключев В. И., Сандлер А. С. Теория автоматизированного электропривода. М.: Энергия, 1979. 616 с.
9. Костин Г. В. Динамика управляемых вращений нагруженного упругого звена в манипуляционной системе с электромеханическим приводом // Изв. АН СССР. Техн. кибернет. 1989. № 6. С. 130–138.
10. Формальский А. М., Лавровский Э. К. Стабилизация заданной позиции упругого стержня // ППМ. 1989. Т. 53. Вып. 5. С. 752–760.